

图书在版编目(CIP)数据

结构化学 / 李宗和主编. - 北京 : 高等教育出版社,
2002.7

中学教师进修高等师范本科(专科起点)教材

ISBN 7-04-010696-5

I . 结… II . 李… III . 结构化学—专升本—教材
IV . 0641

中国版本图书馆 CIP 数据核字(2001)第 098546 号

结构化学

李宗和 主编

出版发行 高等教育出版社 购书热线 010-64054588

社 址 北京市东城区沙滩后街 55 号 免费咨询 800-810-0598

邮政编码 100009 网 址 <http://www.hep.edu.cn>

传 真 010-64014048 <http://www.hep.com.cn>

经 销 新华书店北京发行所

印 刷 北京印刷二厂

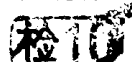
开 本 850×1168 1/32 版 次 2002 年 7 月第 1 版

印 张 12.125 印 次 2002 年 7 月第 1 次印刷

字 数 310 000 定 价 16.90 元

本书如有缺页、倒页、脱页等质量问题,请在所购图书销售部门联系调换。

版权所有 侵权必究



序

根据教育部师范教育司关于中学教师进修高师本科(专科起点)教学计划中对结构化学课的要求,结合“专升本”学生的成人、在职及所学内容针对性强的特点,由北京师范大学李宗和、李奇,华东师范大学高剑南、林海伦,东北师范大学付强,西南师范大学李明,辽宁师范大学孙仁安共同讨论制定了本书的编写大纲,大纲贯彻了专科起点、本科要求和实用性精神,编写思路如下。

全书每一章分正文、阅读材料、学习指导等部分。正文主要介绍结构化学基本概念、基本理论及主要的实验方法,并配有学习指导和掌握上述内容的必要习题;阅读材料是全面了解结构化学对正文部分所做的必要补充;各章引有一些文献,以便读者深入学习使用。正文部分作为学生学习重点,要求学生必须掌握;阅读材料用于学生自学,扩大知识面,在以后的教学科研中起引导入门作用。

本书还介绍了一些结构化学上的最新成就,涉及能源、材料、生命科学。

根据《中学教师进修高等师范本科(专科起点)教学计划》(试行)对本课程教学课时的规定并依据专升本教学的实际情况,建议师生在使用本教材时参考如下的课时分配方案:

教学 内 容	课 时 分 配				
	脱产	业 余	函 授		
			面 授	自 学	合 计
第一章 量子力学基础	8	8	5	10	15
第二章 原子结构	10	10	6	12	18

续表

教学内容	课时分配				
	脱产	业余	函授		
			面授	自学	合计
第三章 双原子分子	6	6	4	8	12
第四章 测定双原子分子结构的实验方法	6	6	4	8	12
第五章 分子对称性	8	8	5	12	17
第六章 多原子分子	8	8	6	10	16
第七章 共轭分子	10	10	6	14	20
第八章 配合物	8	8	6	12	18
第九章 晶体结构基础	12	12	8	16	24
第十章 结晶化学基础	14	14	10	18	28
课时合计	90	90	60	120	180

本书由李宗和任主编,参编人员(按本书章节顺序)有:傅强(第一、二章),林海伦(第三章),高剑南(第四章),孙仁安(第五、六章),李明(第七、八章),李奇(第九、十章)。由于我们的水平所限,错误和不当之处在所难免,诚恳欢迎读者批评指正。

编者
2001年10月

目 录

第一章 量子力学基础	(1)
§ 1.1 量子力学产生的背景	(1)
1.1.1 量子论	(1)
1.1.2 光的粒子性	(5)
1.1.3 粒子的波动性	(7)
1.1.4 不确定关系	(9)
1.1.5 量子力学的建立	(11)
§ 1.2 态、波函数和力学量算符	(11)
1.2.1 态和波函数	(11)
1.2.2 态的叠加	(13)
1.2.3 算符	(13)
1.2.4 力学量算符	(15)
§ 1.3 量子力学基本原理	(17)
1.3.1 状态函数	(18)
1.3.2 薛定谔方程	(18)
1.3.3 力学量算符	(18)
1.3.4 力学量的本征值和平均值	(18)
1.3.5 态叠加原理	(19)
1.3.6 保里原理	(19)
§ 1.4 一维势阱中的粒子	(19)
1.4.1 一维无限深势阱模型	(19)
1.4.2 薛定谔方程求解	(19)
1.4.3 一维势阱中粒子的讨论	(22)
参考文献	(26)
学习指导	(26)
思考题	(27)

习题	(27)
第二章 原子结构	(29)
§ 2.1 氢原子	(29)
2.1.1 氢原子的薛定谔方程	(29)
2.1.2 变数分离	(31)
2.1.3 氢原子薛定谔方程的解	(31)
§ 2.2 关于氢原子的讨论	(37)
2.2.1 氢原子基态	(37)
2.2.2 能级与简并态	(39)
2.2.3 角动量和电磁性质	(40)
2.2.4 复波函数和实波函数	(43)
2.2.5 波函数和电子云的图形表示	(45)
§ 2.3 多电子原子和原子轨道	(49)
2.3.1 多电子原子的薛定谔方程	(49)
2.3.2 中心场近似和原子轨道概念	(50)
2.3.3 自洽场方法	(52)
§ 2.4 电子自旋和保里原理	(55)
2.4.1 电子自旋的实验根据	(55)
2.4.2 电子自旋运动的性质	(56)
2.4.3 保里原理	(57)
§ 2.5 核外电子排布和元素周期律	(60)
2.5.1 核外电子排布的三原则	(60)
2.5.2 离子的电子层结构	(63)
阅读材料	(65)
参考文献	(73)
学习指导	(73)
思考题	(74)
习题	(74)
第三章 双原子分子	(76)
§ 3.1 氢分子离子	(76)
3.1.1 H_2^+ 的哈密顿算符	(76)

3.1.2 变分法解 H_2^+ 的薛定谔方程	(77)
3.1.3 积分 S_{ab} 、 H_{aa} 、 H_{ab} 和体系能量	(83)
3.1.4 共价键的本质	(87)
§ 3.2 简单分子轨道理论	(88)
3.2.1 双原子分子的哈密顿算符	(88)
3.2.2 单电子近似和分子轨道	(88)
3.2.3 原子轨道线性组合成分子轨道(LCAO-MO)法	(90)
3.2.4 分子轨道的类型和符号	(95)
§ 3.3 同核双原子分子	(100)
3.3.1 O_2 和 F_2 分子	(101)
3.3.2 N_2 及 N 以前元素的同核双原子分子	(103)
§ 3.4 异核双原子分子	(106)
3.4.1 CO	(106)
3.4.2 NO	(107)
3.4.3 HF	(107)
阅读材料	(109)
参考文献	(112)
学习指导	(112)
习题	(115)
第四章 测定双原子分子结构的实验方法	(118)
§ 4.1 分子光谱概论	(118)
§ 4.2 双原子分子的转动光谱	(120)
§ 4.3 双原子分子的振动光谱	(124)
4.3.1 谐振子模型	(125)
4.3.2 非谐振子模型	(127)
4.3.3 双原子分子的振动-转动光谱	(129)
§ 4.4 双原子分子的电子光谱	(134)
阅读材料	(136)
参考文献	(142)
学习指导	(142)
习题	(145)

第五章 分子对称性	(146)
§ 5.1 对称操作和对称元素	(148)
5.1.1 恒等操作和恒等元	(148)
5.1.2 旋转操作和对称轴	(148)
5.1.3 反映操作和对称面	(149)
5.1.4 旋转反映操作和象转轴	(150)
5.1.5 反演操作和对称中心	(152)
§ 5.2 对称操作的乘积	(154)
§ 5.3 群的定义和举例	(158)
5.3.1 群的定义	(158)
5.3.2 群的一些实例	(159)
5.3.3 关于群的几个常用概念	(163)
§ 5.4 分子所属点群的确定	(165)
5.4.1 单轴群	(166)
5.4.2 双面群	(168)
5.4.3 立方体群	(172)
§ 5.5 分子对称性的系统分类法	(174)
§ 5.6 分子对称性与分子性质	(175)
阅读材料	(177)
参考文献	(187)
学习指导	(187)
习题	(188)
第六章 多原子分子	(189)
§ 6.1 多原子分子的薛定谔方程	(189)
§ 6.2 单电子近似	(190)
§ 6.3 离域分子轨道	(193)
§ 6.4 定域分子轨道	(198)
§ 6.5 杂化原子轨道	(201)
6.5.1 杂化轨道理论	(202)
6.5.2 杂化轨道理论的简单应用	(207)
参考文献	(212)
学习指导	(213)

习题	(213)
第七章 共轭分子	(215)
§ 7.1 休克尔分子轨道(HMO)法	(215)
§ 7.2 有机共轭分子的 π 电子结构	(218)
7.2.1 丁二烯的 π 电子结构	(218)
7.2.2 苯的 π 电子结构	(223)
§ 7.3 HMO 法对共轭烯烃处理的一般结果	(224)
7.3.1 直链共轭多烯	(225)
7.3.2 单环共轭多烯	(226)
§ 7.4 电荷密度、键级、自由价与分子图	(228)
7.4.1 基本定义	(228)
7.4.2 丁二烯的性质	(229)
7.4.3 分子图的应用	(232)
§ 7.5 无机共轭分子	(233)
§ 7.6 共轭 π 键形成的条件和类型	(235)
§ 7.7 前线分子轨道理论及应用	(238)
7.7.1 丁二烯的电环化反应	(239)
7.7.2 己三烯的电环化反应	(240)
7.7.3 丁二烯与乙烯的环加成反应	(240)
7.7.4 乙烯与乙烯的环加成反应	(241)
阅读材料	(242)
参考文献	(247)
学习指导	(247)
习题	(249)
第八章 配合物	(251)
§ 8.1 晶体场理论	(251)
8.1.1 晶体场理论简介	(252)
8.1.2 配位化合物的几何构型	(257)
8.1.3 配位化合物构型畸变与姜-泰勒效应	(258)
8.1.4 配位化合物的性质	(260)
§ 8.2 配合物的分子轨道法	(263)
8.2.1 σ 型配位化合物	(263)

8.2.2 $\sigma - \pi$ 配位化合物	(267)
§ 8.3 生命体中的配合物	(270)
阅读材料	(272)
参考文献	(273)
学习指导	(274)
习题	(276)
第九章 晶体结构基础	(277)
§ 9.1 晶体的点阵结构与点阵	(278)
9.1.1 晶体结构的周期性	(278)
9.1.2 点阵结构与点阵	(278)
9.1.3 点阵及其基本性质	(283)
§ 9.2 晶体结构参数	(284)
9.2.1 晶胞参数与原子坐标参数	(285)
9.2.2 正当点阵单位与正当晶胞	(286)
9.2.3 晶面指标	(288)
9.2.4 晶面间距 $d_{(hkl)}$	(290)
9.2.5 几个计算公式	(291)
§ 9.3 实际晶体	(291)
9.3.1 理想晶体与实际晶体	(291)
9.3.2 单晶体、多晶体与微晶体	(292)
9.3.3 液态晶体	(293)
9.3.4 同质多晶和类质多晶	(294)
§ 9.4 晶体的宏观对称性	(295)
9.4.1 晶体的宏观对称性	(295)
9.4.2 晶体的宏观对称元素和 32 点群	(297)
9.4.3 晶系与晶体的空间点阵型式	(298)
§ 9.5 晶体微观对称性	(303)
9.5.1 空间对称操作及相应的微观对称元素	(303)
9.5.2 晶体的微观对称元素系与 230 个空间群	(306)
§ 9.6 晶体的 X 射线衍射	(307)
9.6.1 晶体对 X 射线的衍射效应	(308)
9.6.2 衍射方向与晶体结构参数	(309)

9.6.3 衍射强度与晶胞内原子的种类及分布	(314)
9.6.4 系统消光	(316)
阅读材料	(318)
参考文献	(325)
学习指导	(326)
习题	(327)
第十章 结晶化学基础	(332)
§ 10.1 金属晶体	(332)
10.1.1 金属特性与金属键	(332)
10.1.2 金属单质结构	(337)
10.1.3 合金结构	(342)
§ 10.2 离子晶体	(349)
10.2.1 几种二元离子晶体的典型结构形式	(349)
10.2.2 晶格能(点阵能)	(354)
10.2.3 离子半径	(355)
10.2.4 哥希密特结晶化学定律	(359)
§ 10.3 其他键型晶体	(363)
10.3.1 共价型晶体	(363)
10.3.2 分子型晶体	(365)
10.3.3 氢键型晶体	(367)
10.3.4 混合键型晶体	(370)
参考文献	(371)
学习指导	(371)
习题	(373)

第一章 量子力学基础

19世纪末,以牛顿(Newton)力学、热力学及统计物理学、电动力学为代表的经典物理学已经发展到了相当完善的程度,当时人们能感知到的机械运动及电、磁、光、声、热等现象都能用经典物理学理论说明。1897年,汤姆逊(Thomson J J)发现了电子,科学的研究深入到微观领域,此后人们观察到了诸如黑体辐射、光电效应等一些新的实验现象,这些实验事实用经典理论无法解释,经典物理学出现了空前的危机。到了20世纪20年代,能够克服经典物理学危机的崭新的现代物理学大厦建立起来,它的两大支柱就是相对论和量子力学。人们普遍认为,现代的核能技术、光电技术和微电子技术等高科技都是现代物理学的衍生物。尤其是量子力学的建立对化学学科的发展有重要意义,它在化学从经验科学走向理论科学的发展过程中起着关键作用。

§ 1.1 量子力学产生的背景

1.1.1 量子论

由于冶金工业的高度发展,在19世纪末黑体辐射的理论研究成为物理学的重要课题之一。所谓黑体,就是能全部吸收投射到它上面的辐射的物体。自然界中没有绝对黑体,在科学的研究中通常用不透明材料制成内表面粗糙的空腔来模拟黑体。黑体辐射所研究的问题是黑体腔内热辐射能量密度 E 随波长 λ (或频率 ν)的变化规律,这对于冶金高炉内温度的测量技术有重要意义。实验上已经得到了黑体辐射的经验规律,由此可绘制出在一定温度下

能量密度 E 随辐射波长 λ 分布的曲线。用经典的电磁理论和统计物理学可得到黑体辐射的理论公式,尽管理论推导是严格无误的,但理论结果和实验曲线符合得不好。

1900 年 12 月 14 日,普朗克(Plank M)公布了他对黑体辐射的研究成果。他提出了一个假设:黑体腔内辐射能的吸收或释放不能连续进行,只能以某一个最小单位 ϵ 做跳跃式改变,而且 ϵ 的大小与辐射波频率 ν 有关:

$$\epsilon = h\nu \quad (1-1)$$

比例常数 $h = 6.6260755 \times 10^{-34} \text{ J}\cdot\text{s}$,称为普朗克常量。于是黑体辐射能为:

$$E_n = n\epsilon \quad (n = 1, 2, 3 \dots) \quad (1-2)$$

这一假设与经典物理学中辐射能是连续的核心观念完全相反。以此为基础,结合经典物理理论推导出来的黑体辐射公式与实验结果符合很好,普朗克取得了巨大成功。现在我们知道,像这种某物理量的变化是不连续的,而以某一最小单位做跳跃式的增减,就称这物理量的变化是“量子化”的,这一最小单位就叫做这个物理量的“量子”。因此,后人称普朗克的假设为量子说。

1913 年,玻尔(Bohr N)把量子概念运用到原子结构和氢原子光谱问题上。当时比较流行的原子结构模型是卢瑟福(Rutherford E)的原子有核模型(又称原子的天体模型),即原子核带正电,位于原子的中心,电子带负电,在核外圆形轨道上绕核运行。而由于天文学的发展,人们对氢原子光谱有了较深入的了解:氢原子光谱是由一些不连续的线状光谱组成,如图 1.1。

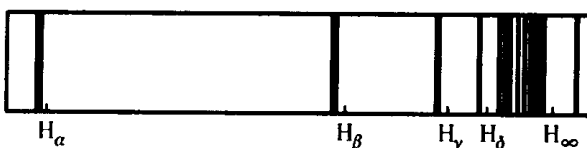


图 1.1 氢原子在可见和近紫外区域的发射光谱

1885年,瑞士的一个中学物理教师巴尔麦(Balmer J)经实验测定,给出了一个光谱经验公式,后经里德堡(Rydberg)改进,写成如下形式:

$$\tilde{\nu} = R_H \left(\frac{1}{n_1^2} - \frac{1}{n_2^2} \right) \quad (n_1 = 1, 2, 3 \dots) \quad (n_2 \geq n_1 + 1) \quad (1-3)$$

式中 $R_H = 1.0973732 \times 10^7 \text{ m}^{-1}$, 称为里德伯常量; $\tilde{\nu} = \frac{1}{\lambda}$ 是波长的倒数,称为波数。

按照经典电磁理论,带电粒子绕一中心做周期性运动将连续地向外辐射能量,电子由于能量损失,其轨道半径不断减小而最终落到原子核上,说明卢瑟福的原子模型极不稳定。另外,电子能量的连续辐射应该得到连续的原子光谱而不是线状光谱,这表明卢瑟福的原子结构不合理且不能解释原子光谱。

为克服上述困难,玻尔在卢瑟福模型基础上提出了他的原子结构理论,核心是两条基本假定:

(1) 定态假设 原子有一些具有分立能值的稳定状态,称为定态。定态的条件是当电子在核外圆形轨道上运动时,其轨道角动量 M_n 量子化。

$$M_n = \frac{n\hbar}{2\pi} = n\hbar \quad (n = 1, 2, 3 \dots) \quad (1-4)$$

(2) 量子跃迁假设 原子处于定态时不发生电磁辐射,当电子由一个定态 E_1 跃迁到另一个定态 E_2 时,以光的形式吸收或放出能量,光的频率是

$$\nu = \frac{|E_2 - E_1|}{h} \quad (1-5)$$

根据玻尔的假设,处于定态的原子是稳定的,且可计算出 $n =$

1、2、3…时氢原子轨道半径和相应的电子能量^①。如 $n = 1$ 时，轨道半径为：

$$r_1 = 5.29 \times 10^{-11} \text{ m} = 0.529 \text{ \AA} = a_0$$

$1 \text{ \AA} = 10^{-10} \text{ m}$, a_0 称为玻尔半径。氢原子的基态能量 $E_1 = -13.6 \text{ eV}$ 。电子伏特(eV)是能量单位, 它表示一个电子经 1 V 电位差后具有的能量, $1 \text{ eV} = 1.60219 \times 10^{-19} \text{ J}$ 。

(1-4)式中的 n 称作“量子数”。由玻尔理论可推导出巴尔麦公式和 R_H 的理论值为 $1.097373 \times 10^7 \text{ m}^{-1}$, 这与实验值十分接近。用玻尔理论对当时已经发现的氢原子光谱巴尔麦(Balmer)系列、帕邢(Paschen)系列和布喇开(Brackett)系列给予了解释, 还预测在紫外区有另一个系列存在, 这个系列于 1915 年被拉曼(Lyman)发现, 称拉曼线系。图 1.2 直观地描绘了玻尔理论氢原子能级分布的图像。当电子从 $n_1 = 1$ 的状态吸收能量被激发到 n_2 状态再回落到能量较低的状态时, 便以光的形式释放出多余的能量。由 $n_2 \geq 2, 3, \dots$ 的各态回落到 $n_1 = 1$ 的状态时形成的光谱为拉曼系列, 回落到 $n_1 = 2$ 的状态时形成的光谱为巴尔麦系列等等, 于是很好地说明了氢光谱各系列谱线形成的原因, 这是玻尔理论的成功之处。

普朗克和玻尔的量子论虽然获得了一定的成功, 却有很大局限性。它们都是在经典理论中人为地加进了量子化条件, 是经典理论与量子假设的混合产物, 并非全新的理论体系。玻尔理论虽然能解释氢原子光谱, 但对复杂的多电子原子光谱却无能为力, 作为科学发展的一个历史阶段, 他们的功绩是不可磨灭的。普朗克揭开了从经典物理进入量子物理的序幕, 而玻尔则为现代原子结构理论的创始者。

① 潘道皑, 赵成大, 郑载兴等编. 物质结构. 第二版. 高等教育出版社, 1989

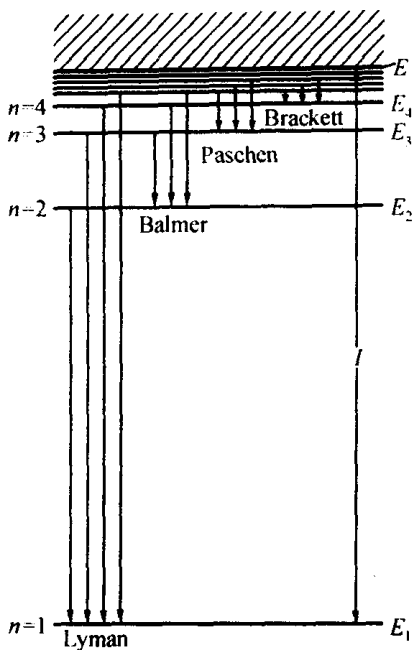


图 1.2 玻尔氢原子能级分布与光谱跃迁示意图

1.1.2 光的粒子性

光电效应是 19 世纪末人们发现的新的物理现象：当光照射到纯净金属表面时有电子（称光电子）逸出。光电效应在现代技术中有许多应用，如光电池、光敏器件等。经典物理学证明光是一种电磁波，不过波长要比一般的无线电波短得多。基于这种光的电磁波理论，光电子的动能 E_k 与光的强度有关，与入射光的频率 ν 无关。而光电效应的实验结果是：光电子的动能 E_k 与光的强度无关，与入射光的频率 ν 成正比。这显然使经典物理学难堪。

1905 年，爱因斯坦用普朗克的量子概念解释光电效应。他认为光的辐射场是由光量子（简称光子）组成，每个光子的能量是：

$$\epsilon = h\nu \quad (1-6)$$

根据狭义相对论,光子的动量为:

$$p = \frac{\epsilon}{c} \quad (1-7)$$

或

$$p = \frac{h}{\lambda} \quad (1-8)$$

$c = 2.99792 \times 10^8 \text{ m} \cdot \text{s}^{-1}$, 是光的速度, λ 是光的波长。 $(1-8)$ 式称作爱因斯坦关系式, 其中动量 p 是表示物质粒子性质的物理量, 波长 λ 是表示物质波动性的物理量^①。这说明光除了是电磁波外, 还有粒子性, 即光具有波粒二象性。后来, 人们把爱因斯坦这种理论叫做光子说。

根据光子学说, 爱因斯坦提出了解释光电效应的方程式:

$$h\nu = \frac{1}{2}mv^2 + W_0 \quad (1-9)$$

当光照射到金属表面后, 一个光子被一个电子吸收, 光子的能量 $h\nu$ 一部分用来克服金属对表面电子的束缚能 W_0 (又称逸出功), 另一部分转化为光电子动能, 在 $(1-9)$ 式中, 光电子动能 $E_k = \frac{1}{2}mv^2$ 与入射光频率 ν 的正比关系是不言而喻的。光电方程 $(1-9)$ 式在 1916 年被密里根 (Millikan R A) 精确实验证实具有普适性。爱因斯坦关系式 $(1-8)$ 于 1923 年被康普顿 (Compton A H) 的 X 射线与电子碰撞的散射实验证实。

[问题] 光电效应表明, 对一定的金属, 当入射光频率 ν 大于一定值 ν_0 时, 才有光电子逸出, 如果 ν 小于 ν_0 , 则没有光电子产生。请用爱因斯坦的光电方程解释临界频率 ν_0 的存在。

① 所谓粒子性, 一般是指一个客体具有质量、电荷等性质。所谓波动性, 一般指某种实际的物理量空间分布呈周期性变化, 并有干涉和衍射现象。

1.1.3 粒子的波动性

理论和实验都说明光具有波与粒子两方面的性质,如果反向思维推论,实物粒子(电子,质子,原子等)是否也会表现出粒子与波动的二象性呢?这正是法国年轻的物理学家德布罗意(Louis de Broglie)深入思考的问题。1924年,德布罗意在一篇文章中提出了实物粒子也具有波动性的假设。他假定具有能量 E 和动量 p 的粒子与一个波相当,这个波的波长为:

$$\lambda = \frac{h}{p} \quad (1-10)$$

(1-10)式就是著名的德布罗意关系式。对实物粒子来说,动量 p 是质量 m 与速度 v 的乘积,因此波长 λ 容易计算出来。这种波称为德布罗意波,如果它的存在被证实,说明实物粒子也具有二象性。

德布罗意关系式与爱因斯坦关系式看似相似,但有本质上的不同。爱因斯坦关系式描述的对象是光,德布罗意关系式描述的是实物粒子。光具有恒定速度 c 和零静止质量,而实物粒子的速度一般要远小于光速且静止质量不为零。光的运动状态需用相对论来处理,实物粒子一般用非相对论处理。

例 1 以 $10.0 \text{ m}\cdot\text{s}^{-1}$ 的速度抛出质量为 0.1 kg 的石头和以 $10^{10} \text{ m}\cdot\text{s}^{-1}$ 速度运动的原子中电子的物质波波长各是多少?

解 由公式(1-10),

$$\lambda = \frac{h}{p} = \frac{h}{mv}$$

对于速度 $10.0 \text{ m}\cdot\text{s}^{-1}$ 的石头,相应的物质波波长为:

$$\lambda_1 = \frac{6.6 \times 10^{-34} \text{ J}\cdot\text{s}}{0.1 \text{ kg} \times 10.0 \text{ m}\cdot\text{s}^{-1}} = 6.6 \times 10^{-34} \text{ m}$$

这样小的长度是目前任何仪器都无法检测的,这说明宏观粒